

# Analyse eines Forschungsthemas INF-D-960

Texterkennung in topographischen Karten: Untersuchungen mit dem  
Deep-Learning-Framework Keras in einer HPC-Systemumgebung

Jan Stephan

Betreuender Hochschullehrer: Prof. Dr. Wolfgang E. Nagel

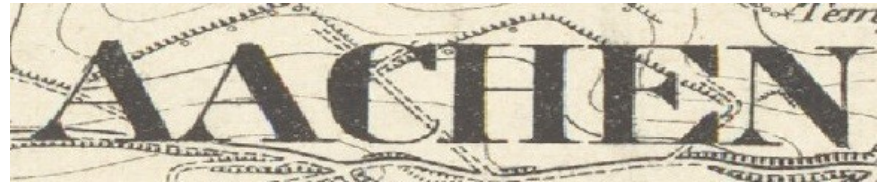
Betreuer: Dr. Peter Winkler

02. Oktober 2018

- Einleitung
  - Motivation
  - Ausgewählte Arbeiten
  - Ziel
- Daten und Methoden
  - Reale und künstliche Daten
  - Bilderkennung
  - Textklassifizierung
  - Umsetzung auf dem HPC-System *Taurus*
- Ergebnisse
  - Trainings- und Validierungsdaten
  - Erkennungsrate und Losses
  - Performance
- Fazit & Ausblick

# Motivation

- Analyse historischer topographischer Karten
  - Raum- und Landschaftsplanung
  - Ziel: Analyse der historischen Siedlungsentwicklung
- Beispiele für *Optical Character Recognition* (OCR):
  - Automatisierte Erkennung von Kennzeichen
  - Digitalisierung von Büchern
  - Informationsextraktion aus nicht digitalisierten Dokumenten
- Problem: „störende“ Bildinformationen



## ● Jaderberg et al. (2016)

- Ziel: Texterkennung in Fotografien / „natural scenes“
- Mehrstufiges Convolutional Network
- Von ScaDS getestet

## ● Shi et al. (2017)

- Ziel: Texterkennung in Fotografien
- Convolutional Network + LSTM für Textsequenzen
- eigene LSTM-Dekodierung

- Texterkennung in und -extraktion aus topographischen Karten
- Nutzung der GPUs auf dem HPC-System *Taurus*
- Skalierungsverhalten des Netzes
  - Performance
  - Erkennungsraten

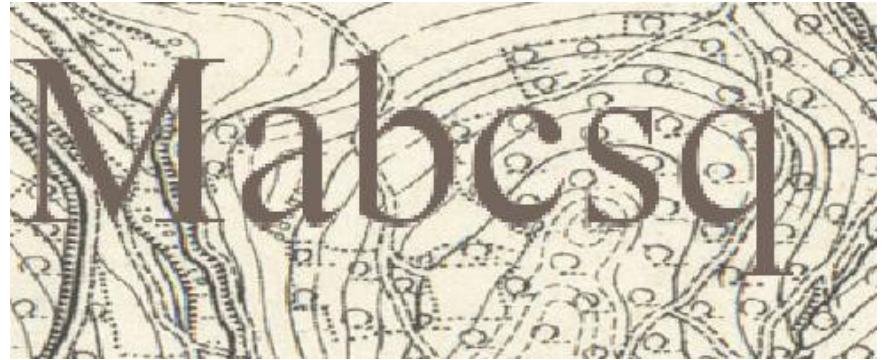
---

# Daten und Methoden



- Neuronales Netz
- Implementierung mit *Keras*
- *TensorFlow*-Backend

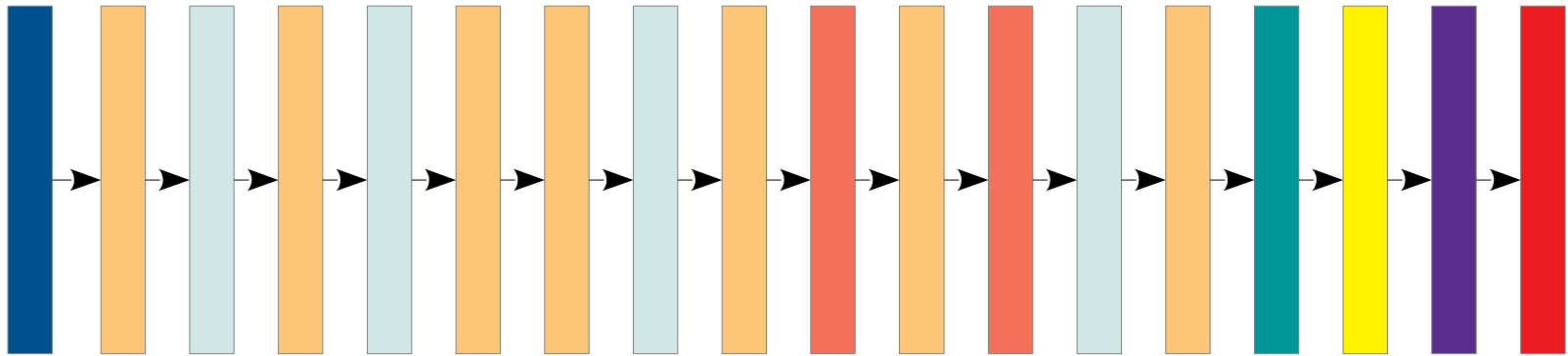
- Training mittels künstlicher Daten
- zufällige Breite und Höhe
- Datengenerator des ScaDS-Projekts (E. Schölzel)





- Beschränkung auf 6 Zeichen pro Wort
- Skalierung der Eingangsdaten
  - 192 x 64
- Greyscale
- float32

# Bilderkennung - Netzwerk



 Input

 Reshape

(Shi et al.)

 Convolution

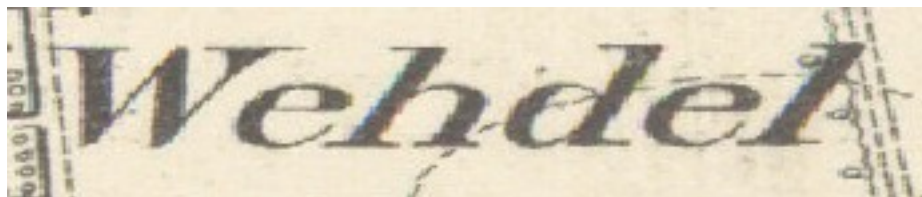
 Bidirectional LSTM

 MaxPool

 Dense

 BatchNormalization

 Softmax



W W W  $\epsilon$  e  $\epsilon$  h h d d  $\epsilon$  e e  $\epsilon$  l l

W e h d e l

Wehdel

*Connectionist Temporal Classifier (CTC)*

(Graves et al., 2006)

- Nicht nativ in *Keras* enthalten
- Teil von *TensorFlows* `tf.keras.backend`
- Training: `ctc_batch_cost` (ersetzt Loss-Funktion)
- Inferenz: `ctc_decode`

- Training und Inferenz: **gpu2-Partition**
  - 4 NVIDIA Tesla K80
  - 62 GiB Arbeitsspeicher
- Datengenerator: beliebiger CPU-Knoten
  - in der Regel **sandy-Partition**
  - 16 CPU-Kerne
  - 30 GiB Arbeitsspeicher
- SCS5-Modulumgebung (Training und Inferenz)
  - *Keras 2.2.0-foss-2018a-Python-3.6.4*
  - *OpenCV 3.4.1-foss-2018a-Python-3.6.4*
- venv (Datengenerator)
  - `/projects/p_scads/keras/new_venv2`

---

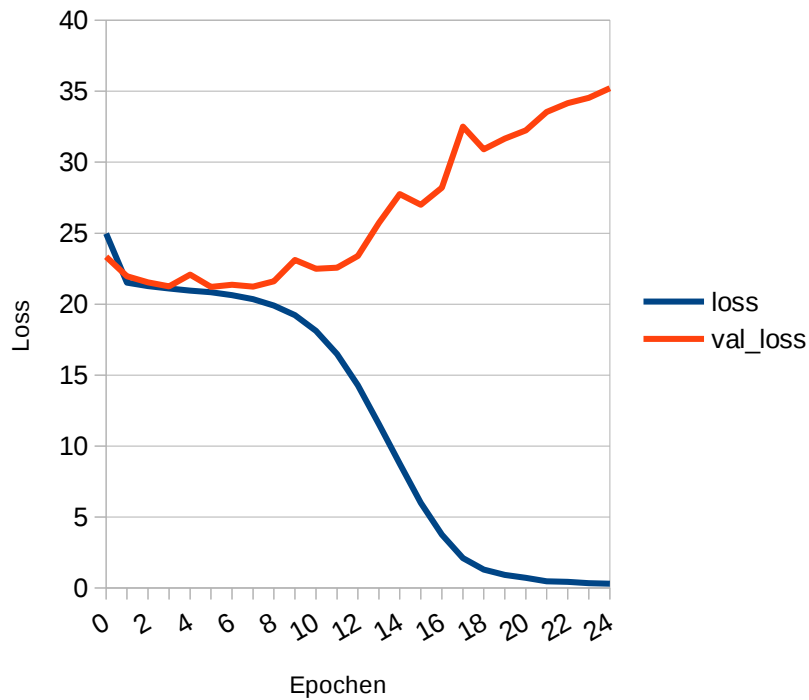
# Ergebnisse

- Wordscore  $W$ 
  - 0 oder 1
- Charscore  $C$ 
  - korrekte Buchstaben / Wortlänge
  - zwischen 0 und 1
- Wenn  $W = 1$ , dann  $C = 1$
- Wenn  $C < 1$ , dann  $W = 0$
- Beispiele:
  - Real: „Bramel“. Erkannt: „Bramel“.  $W = C = 1$
  - Real: „Tannen“. Erkannt: „Tunen“.  $W = 0$ ,  $C = 0,8333$
- Sonderfall:
  - Real: „Wehdel“. Erkannt: „NWehdel“.  $W = C = 0$

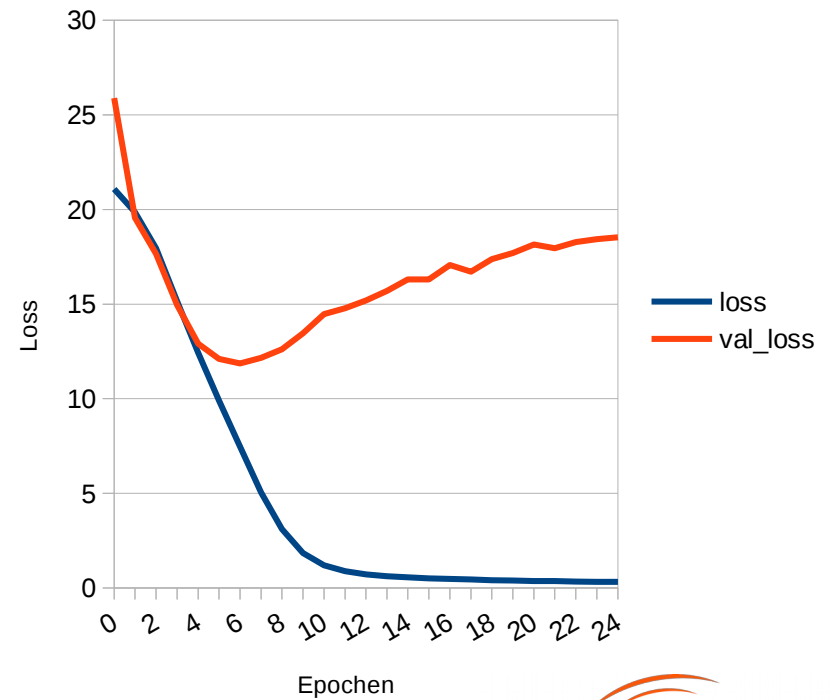
# Overfitting

- allgemeines ML-Problem
- CTC besonders anfällig
- Kriterium: Validierungsloss

Loss - 1.000 Bilder



Loss - 10.000 Bilder



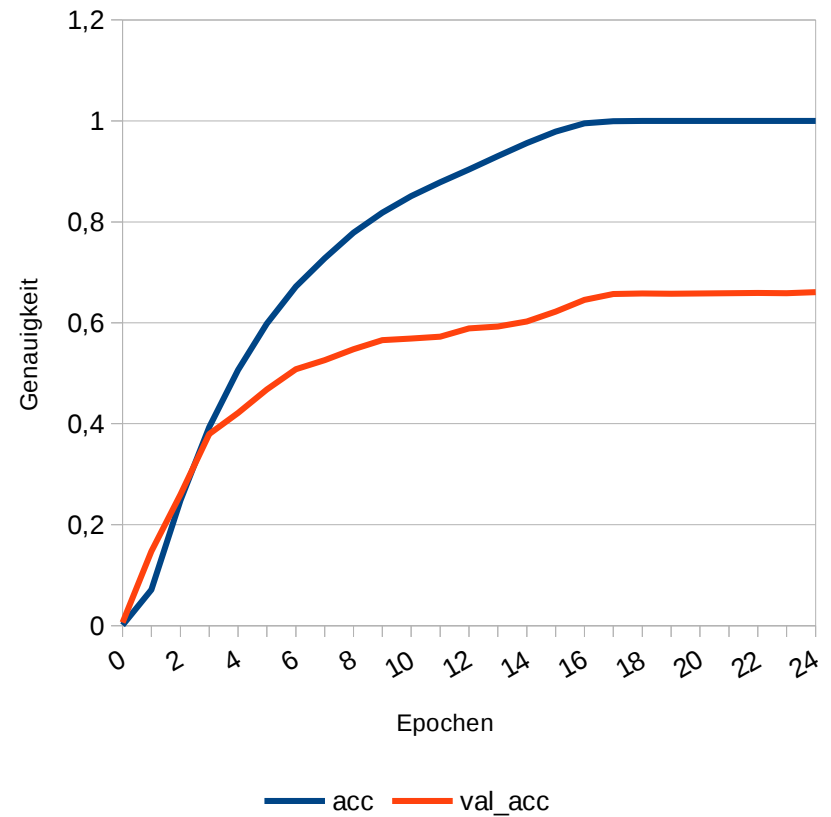
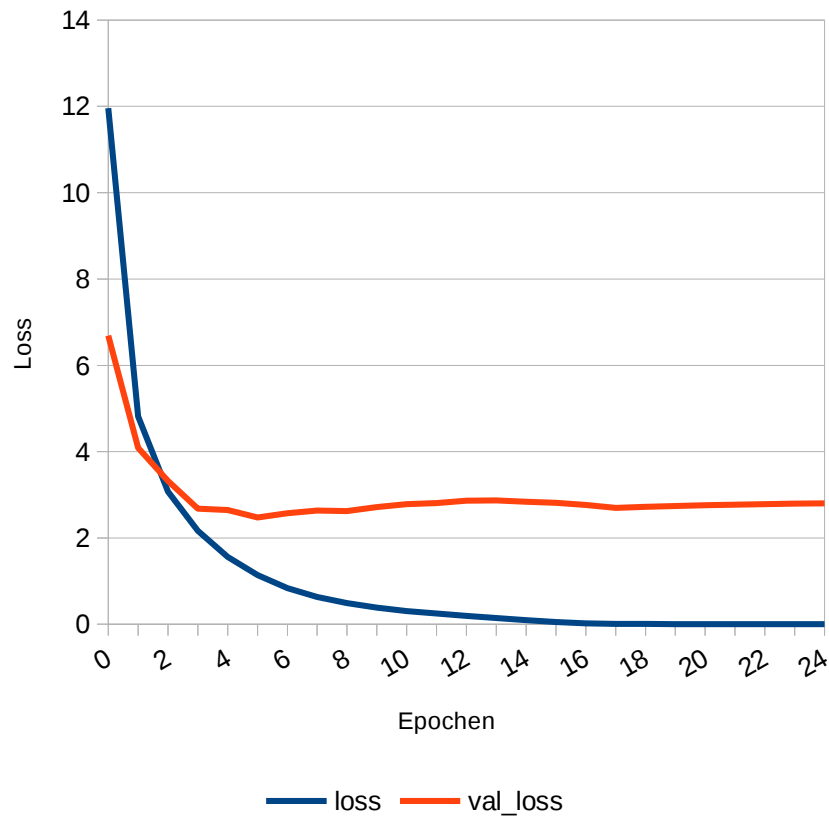


# Trainings- und Validierungsdaten

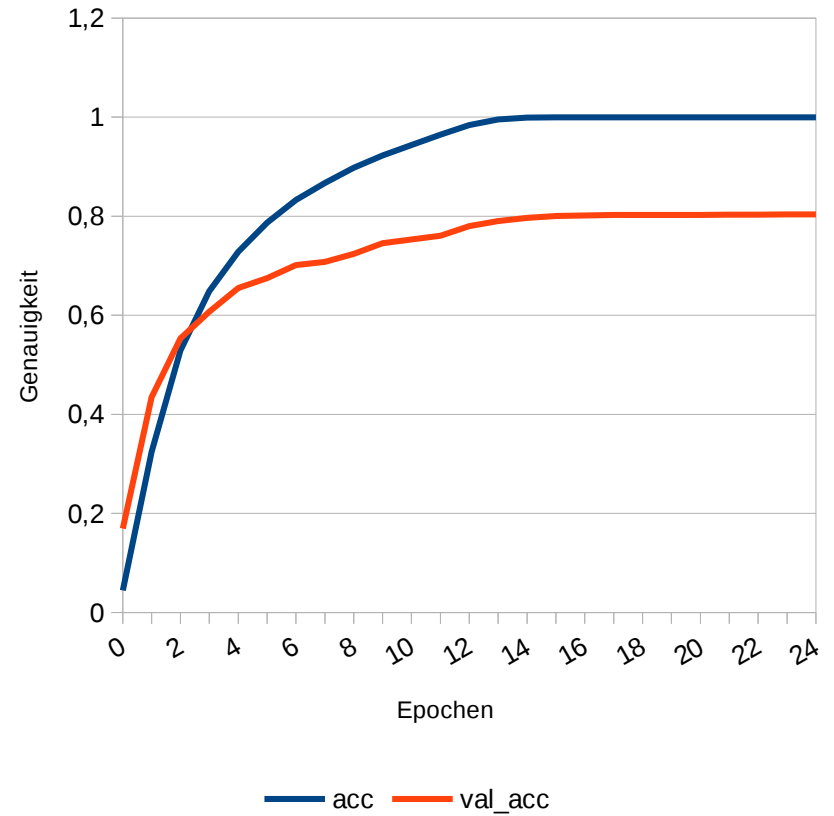
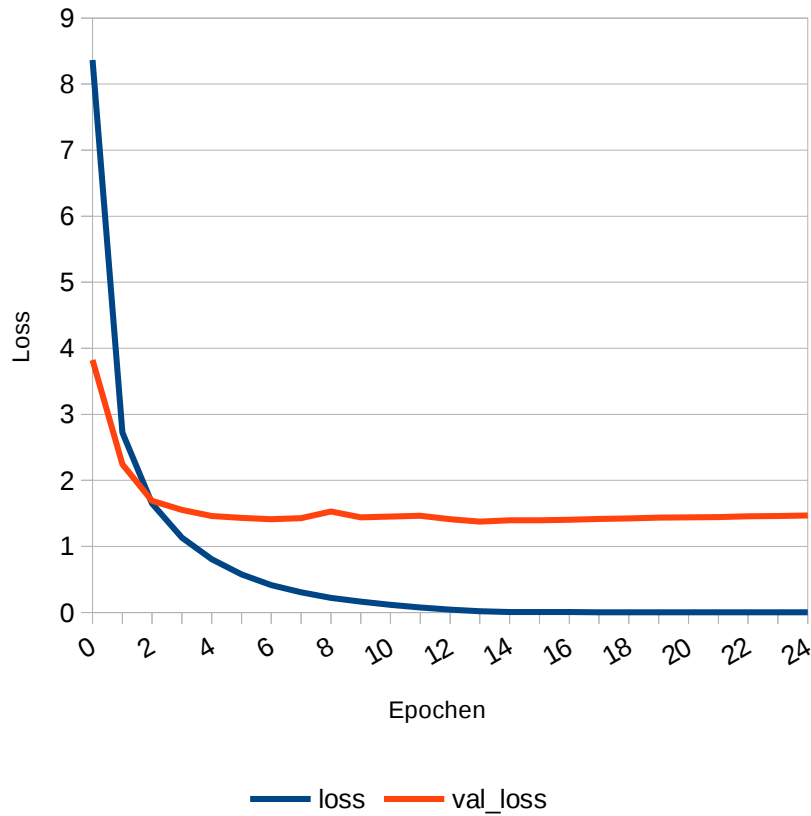
---

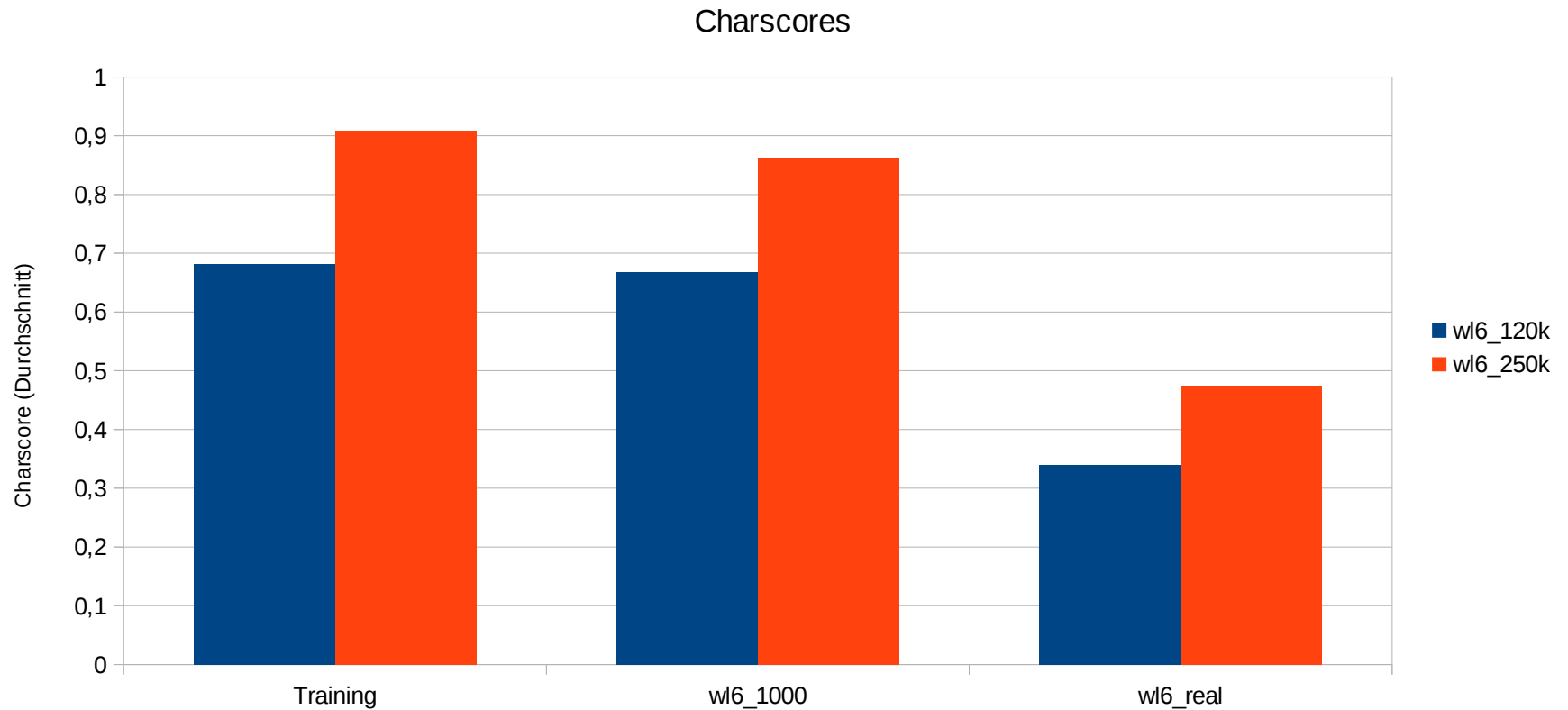
- Zwei Datensätze für das Training
  - Wortlänge 6 Buchstaben
  - wl6\_120k: 120.164 generierte Bilder
  - wl6\_250k: 250.000 generierte Bilder
- Zwei Datensätze für die Validierung
  - Wortlänge 6 Buchstaben
  - wl6\_1000: 1.000 generierte Bilder
  - wl6\_real: 27 reale Bilder (aus Kartenmaterial ausgeschnitten)
- Validierung der Netzwerke in drei Schritten
  1. Trainingsdatensatz
  2. Validierungsdatensatz: wl6\_1000
  3. Validierungsdatensatz: wl6\_real

# Loss & Genauigkeit: w16\_120k



# Loss & Genauigkeit: w16\_250k





# Beispiel: Haaren

---

wl6\_120k: „Haaren“

$W = 1$

$C = 1$

wl6\_250k: „Haaren“

$W = 1$

$C = 1$



# Beispiel: Ostiem

---

wl6\_120k: „Ostion“

$W = 0$

$C = 0,6666$

wl6\_250k: „Ostiem“

$W = 1$

$C = 1$



# Beispiel: Aachen

---

wl6\_120k: „gAacli“

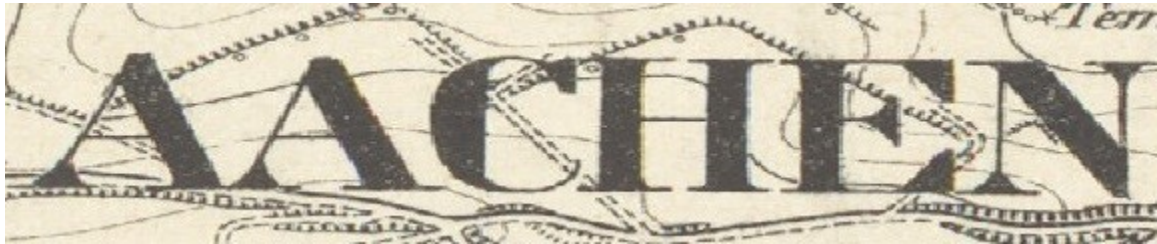
$W = 0$

$C = 0$

wl6\_250k: „Aatiz“

$W = 0$

$C = 0,3333$



# Beispiel: Minten

---

wl6\_120k: „Mduren“

$W = 0$

$C = 0,5$

wl6\_250k: „Jfnca“

$W = 0$

$C = 0,1666$





# Beispiel: Neuhof

---

wl6\_120k: „gNeuhof“

$W = 0$

$C = 0$

wl6\_250k: „Neuhol“

$W = 0$

$C = 0,8333$



	Gesamtlaufzeit	Epochenlaufzeit
wl6_120k	4h 20min 54s	10min 39s
wl6_250k	9h 3min 22s	21min 44s

	Gesamtlaufzeit	Laufzeit pro Bild
wl6_120k	19min 25s	9,7ms
wl6_250k	40min 17s	9,7ms

- Erste Tests mit:
  - Variabler Wortlänge
  - Multi-GPU-Nutzung
  - Größeren Datensätzen (500.000 Bilder)
- Keine zufriedenstellenden Ergebnisse

---

# Fazit und Ausblick

- Ausgewählte Methode für Texterkennung in und -extraktion aus topographischen Karten geeignet
- Vorbedingung: Trainingsdaten in guter Qualität und hoher Menge
- einfache GPU-Nutzung durch Keras & TensorFlow

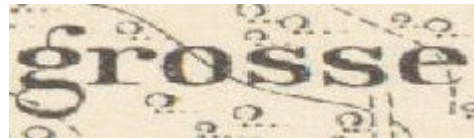
- Optimierung der Trainingsdaten
- Variable Wortlängen
- Performance-Verbesserungen
- Weitere Optionen

# Optimierung der Trainingsdaten

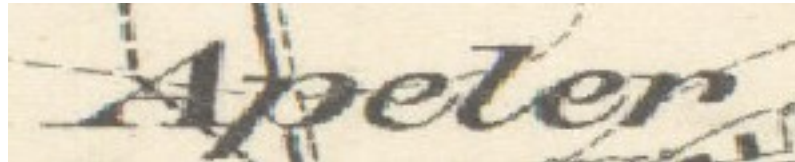
---

- Einführung historischer Schriftarten
  - kostenpflichtig
- Verbesserung des Trainings durch Originalschriftarten wahrscheinlich
  - *Roemisch* (Quelle: [LinotypeR])
  - *Kursivschrift* (Quelle: [LinotypeK])

grosse



*Apeler*





- Netzwerk grundsätzlich geeignet
  - Kleinere Quelltextänderungen nötig
- Offener Punkt: feste Bildbreite für variablen Text
  - Neue Trainings- und Validierungsdaten notwendig

- Verwendung mehrerer GPUs mit Keras prinzipiell möglich
  - `multi_gpu_model`
- Offene Punkte:
  - erhoffter Speedup bleibt aus
  - Performance-Analyse notwendig

- Nutzbarkeit von *Transfer Learning* untersuchen
- Trennung von Text und Hintergrund
- verbesserte Score-Berechnung (Sonderfälle!)

---

# Vielen Dank!

A. Graves, S. Fernández, F. Gomez, J. Schmidhuber: *Connectionist Temporal Classification: Labelling Unsegmented Data with Recurrent Neural Networks*. In: Proceedings of the 23rd International Conference on Machine Learning, 2006. S. 369 – 376

B. Shi, X. Bai, C. Yao: *An End-to-End Trainable Neural Network for Image-based Sequence Recognition and Its Application to Scene Text Recognition*. In: IEEE Transactions on Pattern Analysis and Machine Intelligence 39, Nov. 2017. S. 2298 – 2304

M. Jaderberg, K. Simonyan, A. Vedaldi, A. Zisserman: *Reading Text in the Wild with Convolutional Networks*. In: International Journal of Computer Vision 116, 2016. S. 1 - 20

E. Schölzel: *genSet3.py*, 2017. Unveröffentlicht.

[LinotypeR] Linotype.com: *Roemisch™ Schriftfamilie*. Online abrufbar unter <https://www.linotype.com/de/1410/roemisch-schriftfamilie.html>, zuletzt abgerufen am 01. Oktober 2018)

[LinotypeK] Linotype.com: *Kursivschrift™ Schriftfamilie*. Online abrufbar unter <https://www.linotype.com/de/915/kursivschrift-schriftfamilie.html>, zuletzt abgerufen am 01. Oktober 2018